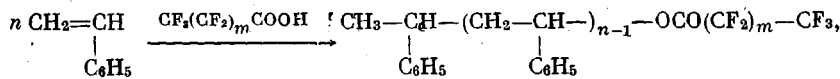


УДК 541.64 : 547.538.141

ПОЛИМЕРИЗАЦИЯ СТИРОЛА В МАССЕ В ПРИСУТСТВИИ
ТРИФТОРУКСУСНОЙ КИСЛОТЫ И АЦЕТАТА НИКЕЛЯ*К. В. Белогородская, В. Н. Соколов, Т. О. Колосова,
В. Д. Румянцев, А. Ф. Николаев*

Изучение закономерностей полимеризации стирола в массе под влиянием комплекса трифторуксусная кислота (ТФУК) – ацетат никеля показало его высокую эффективность при определенном соотношении компонентов. Установлены основные кинетические уравнения скорости полимеризации стирола в массе при 0, 10 и 20° и рассчитана энергия активации процесса (15,9 ккал/моль). Показано, что ТФУК расходуется во время полимеризации и входит в состав ПС в виде сложноэфирной группы на конце цепи. Участие ее в обрыве цепи увеличивается с повышением температуры реакции, начальной концентрации кислоты и соли.

Известно, что перфторкарбоновые кислоты являются энергичными катализаторами ионной полимеризации стирола [1–3], однако процесс начинается только в том случае, если кислота находится в ионизированном состоянии. Схема процесса описывается уравнением [2, 3]



где $n=70-400$, $m=0-6$.

Образующийся ПС имеет молекулярную массу $(5-25) \cdot 10^3$. Для обеспечения высоких скоростей процесса и выхода требуется вводить большое количество катализатора. Нами было замечено, что добавка некоторых солей металлов к трифторуксусной кислоте (ТФУК) приводит к заметному ускорению процесса и увеличению молекулярной массы ПС. В настоящей работе представлены кинетические закономерности гомогенной полимеризации стирола (Ст) в массе под влиянием ТФУК и растворимого в ней ацетата никеля.

Стирол очищали по методике [4]; n_D^{20} 1,5462; d_4^{20} 0,9065. Этилбензол сушили над безводным сульфатом магния и дважды перегоняли. Отбирали фракцию с т. кип. 136,0–136,2°, n_D^{20} 1,4559; d_4^{20} 0,8669. ТФУК марки ч.д. дважды перегоняли и отбирали фракцию с т. кип. 72–72,5°, n_D^{20} 1,2848, d_4^{20} 1,4892. Ацетат никеля марки х.ч. перед употреблением перекристаллизовывали и сушили при 60°/10 тор до постоянного веса.

Найдено, %: С 27,4; Н 4,0, N 32,8. $\text{C}_4\text{H}_6\text{O}_4\text{Ni}$. Вычислено, %: С 27,2, Н 3,4, Ni 33,2.

Полимеризацию стирола изучали дилатометрическим и гравиметрическим (в ампулах) методами. Расходования в результатах опытов не превышали $\pm 2\%$. Для определения расхода кислоты в ходе полимеризации реакцию проводили в трехгорной колбе, установленной в водяном термостате. К катализатору (ТФУК с растворенным в ней ацетатом никеля) добавляли стирол. После смешения компонентов реакция начинается мгновенно. Через определенные промежутки времени отбирали пробы, растворяли их в 20 мл толуола и титровали 0,01 н. спиртовым раствором щелочи в присутствии фенолфталеина.

Определение вязкости растворов ПС в толуоле проводили в вискозиметре Уббелоде при 25°. Для расчета молекулярной массы использовали формулу [5]: $(\eta) = -1,7 \cdot 10^{-4} M^{0,69}$. Электропроводность растворов измеряли в ячейке с плоскопараллельными платиновыми электродами на тераомметре постоянного тока типа Е-6-10 (постоянная ячейка 0,51 см⁻¹). В ячейку заливали 10 мл растворителя и после терmostатирования добавляли кислоту или раствор соли в кислоте. Во всех случаях электропроводность была достаточно низкой, что исключало поляризацию электродов.

При изменении концентрации ацетата никеля в смеси с ТФУК в пределах $(0,3\text{--}15) \cdot 10^{-3}$ моль/л было обнаружено, что при содержании соли до $2 \cdot 10^{-3}$ моль/л наблюдается резкое увеличение конверсии стирола (за 3 мин.), переходящей через максимум при мольном соотношении ТФУК : $\text{Ni}(\text{OCOCH}_3)_2 = 150$. Дальнейшее увеличение концентрации соли приводит к снижению выхода полистирола и полному прекращению процесса при отношении ТФУК : $\text{Ni}(\text{OCOCH}_3)_2 \leq 25$ (рис. 1, кривая 1).

Характеристическая вязкость ПС (рис. 1, кривая 2) вначале возрастает, а затем по мере увеличения концентрации ацетата никеля уменьшается. Изменение электропроводности инициирующей системы в этилбензоле (заменитель стирола) хорошо согласуется с изменением скорости поли-

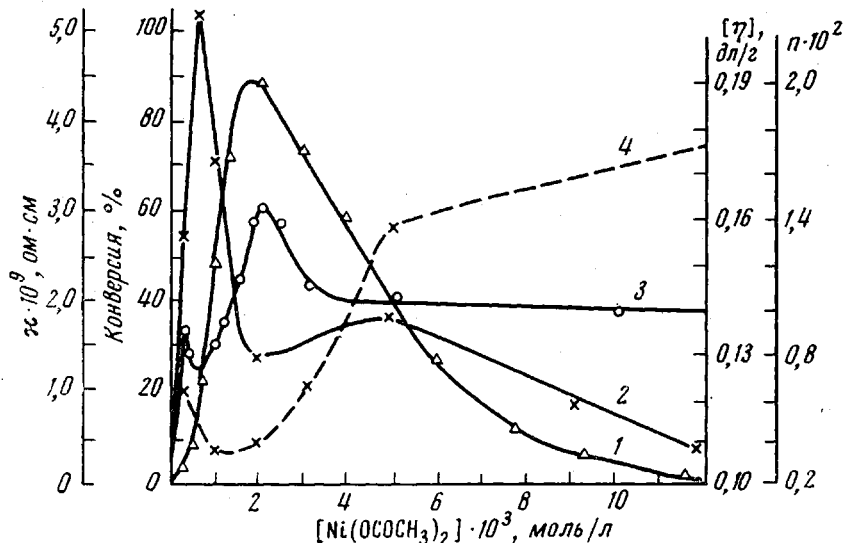


Рис. 1. Зависимость конверсии (1), $[\eta]$ (2), радиоактивности n (4) образцов ПС и электропроводности x системы ТФУК – этилбензол (3) от концентрации ацетата никеля

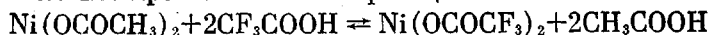
Концентрация, моль/л: стирол — 8,44; ТФУК — 0,31; 20°, время — 3 мин.

меризации (рис. 1, кривая 3), что позволяет привлечь эти данные для объяснения механизма процесса. В отсутствие соли полимеризация стирола под действием ТФУК протекает с чрезвычайно малой скоростью, так как концентрация ТФУК составляет всего 4 вес. % стирола (0,31 моль/л), пороговая концентрация ТФУК, необходимая для начала заметной полимеризации стирола в массе, $\geq 0,35$ моль/л [3].

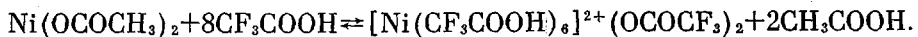
Растворение ацетата никеля в ТФУК и добавление полученной катализитической системы к стиролу приводят к повышению удельной электропроводности системы и способствует образованию комплексов с повышенной реакционной способностью. Вследствие этого и наблюдается резкое увеличение конверсии стирола. Уменьшение скорости процесса при повышенном содержании соли, видимо, сверх оптимального количества и соответственно снижение электропроводности системы свидетельствуют об изменении природы комплексов и уменьшении концентрации активных центров, ответственных за реакцию полимеризации. Нами было замечено, что новые комплексы (менее активные) обладают пониженной растворимостью в стироле и этилбензоле, что способствует их выпадению из раствора.

Взаимодействие ТФУК и ацетата никеля подтверждается данными УФ-, ИК- и ЯМР-спектроскопии. На ИК-спектрах ТФУК и ацетата никеля в CCl_4 при увеличении концентрации ацетата никеля появляется по-

полоса поглощения 1765 см^{-1} , соответствующая карбонильной группе уксусной кислоты. Вытеснение уксусной кислоты из ацетата никеля более сильной ТФУК помимо простой обменной реакции



может происходить в результате комплексообразования, например



Однако данная реакция не является единственно возможной. Вполне вероятно протекание и других реакций комплексообразования.

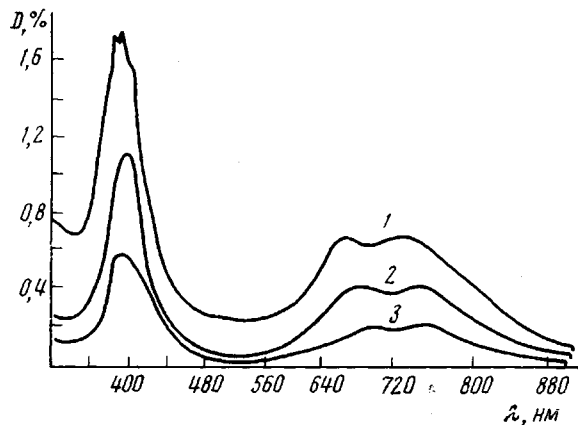


Рис. 2. Электронные спектры поглощения ацетата никеля в воде (1 : 100) (1) и в смеси с ТФУК в соотношении 1 : 50 (2) и 1 : 100 (3)

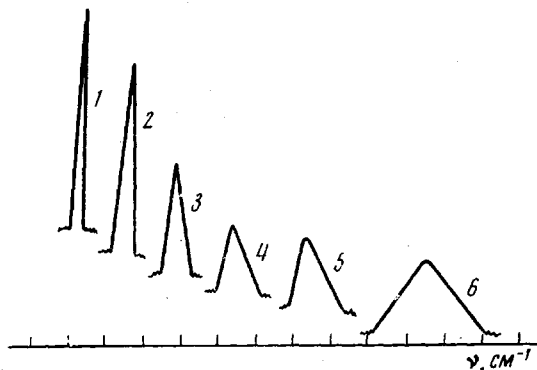


Рис. 3. Спектры ЯМР ТФУК (1) и систем ТФУК – ацетат никеля в этилбензоле при соотношении компонентов 1000 (2), 500 (3), 200 (4), 100 (5) и 50 (6). Разворотка $5 \text{ г/см}, [\text{TФУК}] = 0,358 \text{ моль/л}, 20^\circ$

Возникающий комплекс имеет октаэдрическое строение, подобно строению комплекса ацетата никеля в воде [6]. Об этом свидетельствуют электронные спектры поглощения комплекса ацетата никеля с ТФУК и ацетата никеля с водой, представленные на рис. 2. Отличие очень небольшое — полосы поглощения несколько сдвинуты в сторону больших длин волн (400, 670 и 732 нм). Это позволяет предположить образование из ТФУК и ацетата никеля октаэдрического комплекса никеля (II), имеющего 6 лигандов во внутренней сфере. Увеличение концентрации ацетата никеля в 2 раза (50:1 и 100:1) приводит к повышению интенсивности полос поглощения также в ~ 2 раза. Это свидетельствует о том, что концентрация комплекса пропорциональна концентрации ацетата никеля. Энергия диссоциации комплекса в этилбензоле составляет 7 ккал/моль.

Возможность образования комплекса между ТФУК и ацетатом никеля подтверждается также методом ЯМР. Спектр ЯМР- F^{19} раствора чистой ТФУК в этилбензоле представляет собой узкий синглет со сдвигом по отношению к C_6H_6 . Добавление ацетата никеля приводит как к сдвигу синглета в слабое поле, так и к его уширению (рис. 3). Это также может свидетельствовать об образовании комплекса и об ускорении обмена мономер—димер в ТФУК. Значение константы скорости обмена, рассчитанной по формуле [7]

$$k = 2\pi R_a P_b (\delta v)^2 (w^* - w^n)^{-1} = 1,6 \cdot 10^5 \text{ сек}^{-1},$$

указывает на очень большую скорость перехода из одного состояния в другое.

Дополнительные сведения о строении каталитического комплекса были получены при исследовании инициирующей системы методом электропро-

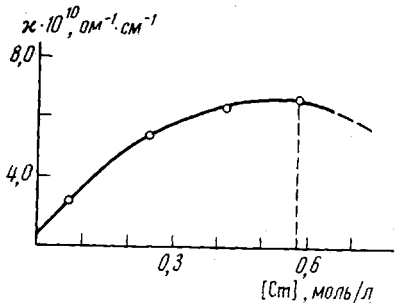


Рис. 4. Зависимость электропроводности инициирующей системы ТФУК — ацетат никеля в этилбензоле от содержания добавленного стирола при $[\text{ТФУК}] = 0,29$ и $[\text{Ni} \cdot (\text{OCOCH}_3)_2] = 2 \cdot 10^{-3}$ моль/л, 20°

водности. Порционное введение стирола в раствор ТФУК и ацетата никеля в этилбензоле вызывает ступенчатое скачкообразное увеличение электропроводности, которая затем практически остается постоянной до добавления следующей порции мономера. Величина скачка зависит от температуры и концентрации ацетата никеля. Особенность этого явления заключается в том, что добавление стирола вызывает скачок электропроводности лишь при введении его до определенной концентрации (рис. 4, пунктирная прямая) в системе ($0,58$ моль/л, что соответствует отношению стирол: ТФУК=2). Этот факт позволяет твердо утверждать, что стирол входит в состав активного центра и способствует его переходу в ионную форму.

Таким образом, на основании полученных данных можно сделать предположение о том, что активным центром при полимеризации стирола в присутствии ТФУК и ацетата никеля является комплекс соли никеля с трифтормукусной кислотой и стиролом.

Реакция полимеризации стирола характеризуется ограниченным выходом ПС во времени, зависящем от начальной концентрации кислоты, соли, стирола и температуры. Начальная скорость полимеризации при 20 , 10 и 0° описывается соответствующими уравнениями

$$v_{20} = k[M]^{1,7} [\text{ТФУК}]^{3,0} [\text{Ni}(\text{OCOCH}_3)_2]^{1,0}$$

$$v_{10} = k[M]^{2,7} [\text{ТФУК}]^{2,8} [\text{Ni}(\text{OCOCH}_3)_2]^{1,0}$$

$$v_0 = k[M]^{3,1} [\text{ТФУК}]^{2,0} [\text{Ni}(\text{OCOCH}_3)_2]^{1,0}$$

По мере образования полимера концентрация ТФУК уменьшается, что вновь подтверждает ранее установленный факт о расходе кислоты, и тем быстрее, чем выше температура реакции и больше концентрация ацетата никеля в реакционной смеси (табл. 1).

Из данных по расходу кислоты в реакции полимеризации стирола в мас- се вычислены константы скорости расхода кислоты: $k_{\text{расх}}^{20} = 17 \cdot 10^{-4}$, $k_{\text{расх}}^{10} = 7,7 \cdot 10^{-4}$, $k_{\text{расх}}^0 = 3,7 \cdot 10^{-4} \text{ сек}^{-1}$. Общая энергия активации процесса полимеризации стирола составляет $15,9 \text{ ккал/моль}$.

Обрыв цепи, как и в случае использования только ТФУК [2], происходит вследствие рекомбинации растущего конца полимерной цепи с анионом кислоты и входит в состав ПС в виде сложноэфирной группы, что подтверждается расходом кислоты во время реакции. Кроме того, в реакции обрыва (передача цепи) также принимает участие и уксусная кислота, находящаяся в малодиссоциированном состоянии. Это подтверждается определением содержания ^{14}C ацетатных групп в ПС методом «меченого» ацетата никеля (рис. 1; кривая 4). Содержание меток в полимере зависит

Таблица 1

Расход ТФУК в зависимости от начальной концентрации кислоты, ацетата никеля и температуры в реакции полимеризации стирола в масце

[ТФУК] ₀ , моль/л	[Ni(OOCCH ₃) ₂] ₀ · 10 ³ , моль/л	Расход кислоты, % от [ТФУК] ₀ при температуре, °C		
		20	10	0
0,273	0,5	24,5	17,5	45,7
0,310	0,5	22,6	—	19,0
0,310	0,9	37,1	—	—
0,310	1,49	41,0	—	—
0,348	0,5	—	21,5	—
0,348	0,78	—	25,3	—
0,348	1,75	—	32,5	—
0,534	0,5	31,0	—	19,5
0,534	0,7	—	—	25,5
0,534	0,98	—	—	29,0

Таблица 2

Молекулярная масса ПС, полученного при 0°

[ТФУК], моль/л	[Ni(OOCCH ₃) ₂] · 10 ³ , моль/л	$\frac{\partial \eta}{\eta}$	$\frac{1}{M}$	[ТФУК], моль/л	[Ni(OOCCH ₃) ₂] · 10 ³ , моль/л	$\frac{\partial \eta}{\eta}$	$\frac{1}{M}$
0,385	0,5	0,23	39				
0,534	0,5	0,22	31	0,534	0,736	0,22	33
0,749	0,5	0,19	25	0,534	1,14	0,13	15
0,534	0,41	0,20	28	0,757	—	0,05	3

от исходной концентрации ацетата никеля: максимальному содержанию ацетатных групп в полимере соответствует минимальная молекулярная масса.

Важной особенностью полимеризации стирола в присутствии системы ТФУК — ацетат никеля является возможность получения полимера со значительно большей молекулярной массой, чем под влиянием только одной ТФУК, даже при больших скоростях процесса. Величина молекулярной массы зависит от температуры и концентрации реагентов (табл. 2).

Ленинградский технологический институт им. Ленсовета

Поступила в редакцию
8 IV 1974

ЛИТЕРАТУРА

1. J. J. Throssell, S. P. Sood, M. Szwarc, V. Stannett, J. Amer. Chem. Soc., 72, 1122, 1956.
2. А. Ф. Николаев, К. В. Белогородская, Е. М. Духненко, Л. В. Попова, А. Ф. Каракаш, Высокомолек. соед., Б12, 24, 1970.
3. Е. М. Духненко, Диссертация, 1968.
4. А. Вайсбергер, Э. Прокопаэр, Дж. Риддик, Э. Турс, Органические растворители, Изд-во иностр. лит., 1958.
5. С. Р. Рафиков, С. А. Павлова, И. И. Твердохлебова, Методы определения молекулярных весов и полидисперсности полимеров, Изд-во АН КазССР, 1968.
6. G. Maki, J. Chem. Phys., 29, 1129, 1958.
7. A. Allerhard, H. S. Antowsky, J. Jones, R. A. Meinzer, J. Amer. Chem. Soc., 88, 3185, 1966.